

## Электродинамический метод расчета двумерной модели двузверкальной антенной системы с носовым диэлектрическим обтекателем

С. В. Кукобко, А. З. Сазонов<sup>1</sup>, И. О. Сухаревский<sup>2</sup>

*Объединенный научно-исследовательский институт Вооруженных Сил,  
ул. Динамовская, 3а, г. Харьков, 61023, Украина*

*<sup>1</sup>Харьковское опытно-конструкторское бюро автоматики "Химавтоматика",  
ул. Котлова, 129, г. Харьков, 61017, Украина*

*<sup>2</sup>Харьковской национальный университет имени В. Н. Каразина,  
пл. Свободы, 4, г. Харьков, 61077, Украина  
E-mail: sukharevsky@euro.dinos.net*

*Статья поступила в редакцию 1 декабря 2004 г.*

Рассматривается метод расчета полей излучения и рассеяния двумерной модели двухзеркальной антенны под диэлектрическим остроконечным обтекателем для случаев  $E$ - и  $H$ - поляризованного поля. Метод основан на решении интегральных уравнений относительно поля в слое обтекателя и плотности токов на зеркалах. Приведены диаграммы направленности и рассеяния двухзеркальной антенной системы под диэлектрическим обтекателем, опирающимся на идеально проводящую пластину.

На этапе разработки бортовых антенных систем летательных аппаратов возникает необходимость исследования полей излучения и рассеяния зеркальных антенн с диэлектрическими остроконечными обтекателями. Присутствие обтекателя приводит к значительным искажениям характеристик излучения антенны. Обычно при электродинамических расчетах антенных систем (АС) "обтекатель – зеркальная антenna" используются методы физической либо геометрической оптики [1-8]. Они дают приемлемые результаты только в случае, если обтекатель имеет малую кривизну поверхности и не учитываются многократные переотражения волн между стенками обтекателя, между расположенной в его основании аппаратурой и зеркалом антенны. При этом не учитываются также краевые эффекты в распределении токов на зеркале.

Отсутствие адекватного расчетного метода приводит к необходимости проведения дорогостоящей и долговременной радиотехнической доводки антенных систем с обтекателями на основании экспериментальных данных. Для аналитического решения данной задачи предлагается использовать метод интегральных уравнений.

Задача рассеяния электромагнитных волн на зеркальной параболической антенне с облучателем в виде открытого конца плоского волновода и диэлектрическим обтекателем рассматривалась в [9]. В этой работе задача рассеяния произвольно падающей волны на отдельной антенне с бесконечно тонкими зеркалами и стенками облучателя сводится к интегральному уравнению Фредгольма первого рода относительно неизвестного поверхностного тока на контуре антенны, а задача рассеяния

на отдельном диэлектрическом обтекателе – к уравнению Фредгольма второго рода относительно неизвестного электрического поля в сечении обтекателя. Решение в [9] находится с помощью итерационной процедуры.

Однако алгоритм численного расчета, построенный на основе вышеизложенной методики, реализован только для случая  $E$ -поляризации и имеет ряд недостатков. Насколько можно судить из статьи, алгоритм пригоден лишь для расчета обтекателя в виде кругового цилиндра. Влияние короткозамкнутого облучателя на результатирующую эффективную площадь рассеяния системы антenna–обтекатель учитывается с помощью введения в рассмотрение компенсирующего эквивалентного источника (не учитываются переотражения, возникающие между облучателем и антенной и между облучателем и обтекателем).

Строгое решение задачи излучения для зеркальной АС с диэлектрическим круговым цилиндрическим обтекателем получено в работе [10]. Метод решения принципиально опирается на указанную геометрию АС и не может быть применен для обтекателей произвольной формы.

Настоящая статья является продолжением работ [11-12], в которых предложены методы расчета рассеяния электромагнитных волн на остроконечном обтекателе и на системе незамкнутых экранов соответственно. В статье реализован метод электродинамического расчета двумерной модели системы антenna–облучатель–обтекатель (облучатель представлен в виде дополнительного зеркала) для двух поляризаций волны облучения, причем в случае  $H$ -поляризации интегральные уравнения содержат значения производной поля на экранах и на поверхности обтекателя.

## 1. Постановка задачи и основные расчетные соотношения

Будем рассматривать модель двумерной АС, состоящую из двух незамкнутых параболических идеально проводящих и беско-

нечно тонких экранов  $S_{01}$  и  $S_{02}$  под оживальным диэлектрическим обтекателем  $D_2$ , который опирается на идеально проводящий экран  $S_{03}$  (см. рис. 1). Предполагается временная зависимость вида  $e^{-j\omega t}$ . Стенки обтекателя выполнены из диэлектрика с относительной диэлектрической проницаемостью  $\epsilon_r$ . В качестве первичного источника поля возьмем синфазную токовую (магнитную) нить, след которой на плоскости  $XOY$  совпадает с точкой  $\vec{a}$ .

Остановимся подробнее на методе расчета для случая  $H$ -поляризации волны первичного источника. Отметим, что алгоритм расчета для существенно более простого случая  $E$ -поляризации может быть получен по аналогии с приведенным ниже алгоритмом для случая  $H$ -поляризации.

Применив последовательно вторую формулу Грина к областям  $D_1$ ,  $D_2$ ,  $D_3$ ,  $D_4$  и проделав ряд преобразований, можно получить следующее интегральное представление для  $z$ -компоненты магнитного поля  $H_z(\vec{X})$  при  $\vec{X} \in D_2$ :

$$H_z(\vec{X}) - H_z^0(\vec{X}) = - \int_{S_0} \frac{\partial G(\vec{X}, \vec{\xi})}{\partial n_\xi} p(\vec{\xi}) d\vec{l}_\xi -$$

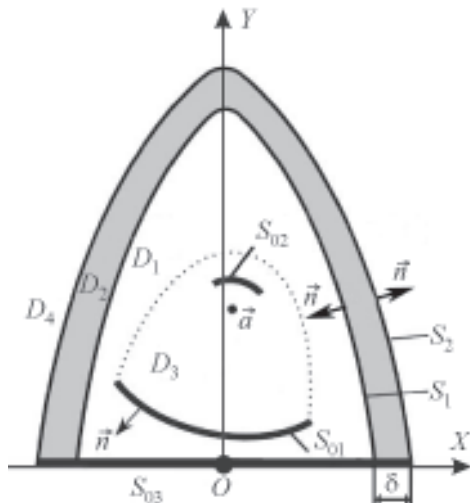


Рис. 1. Геометрия задачи

$$-\left(1 - \frac{\epsilon_0}{\epsilon_1}\right) \int_S G(\vec{X}, \vec{\xi}) \frac{\partial H_z^-(\vec{\xi})}{\partial n_\xi} dl_\xi - \\ - \left(k_1^2 - k_0^2\right) \iint_{D_2} G(\vec{X}, \vec{\xi}) H_z^-(\vec{\xi}) ds_\xi, \quad (1)$$

где  $H_z^0(\vec{X})$  –  $z$ -компоненты магнитного поля

первичного источника,  $\frac{\partial H_z^-(\vec{\xi})}{\partial n_\xi}$  – граничное значение нормальной производной полного поля со стороны выбранного положительного направления нормали  $\vec{n}$  на  $S = S_1 \cup S_2$ . Величина  $p(\vec{\xi}) = H_z^+(\vec{\xi}) - H_z^-(\vec{\xi})$  при рассматриваемой поляризации пропорциональна плотности поверхностного тока,  $k_0$  – волновое число в свободном пространстве,  $k_1$  – волновое число в среде с параметрами обтекателя,  $G(\vec{X}, \vec{\xi}) = G(k_0 R) = H_0^{(1)}(k_0 |\vec{X} - \vec{\xi}|)/4j$  – функция Грина свободного пространства,  $dl_\xi$  – дифференциал дуги,  $ds_\xi$  – дифференциал площади,  $\epsilon_0$  – диэлектрическая проницаемость свободного пространства,  $S_0 = S_{01} \cup S_{02} \cup S_{03}$ .

Продифференцировав равенство (1) по  $n_x$  и устремив затем точку  $\vec{X}$  на  $S_0$ , получим уравнение для  $\vec{X} \in S_0$ :

$$\frac{\partial}{\partial n_x} \int_{S_0} \frac{\partial G(\vec{X}, \vec{\xi})}{\partial n_\xi} p(\vec{\xi}) dl_\xi = \frac{\partial H_z^0(\vec{X})}{\partial n_x} - \\ - \left(1 - \frac{\epsilon_0}{\epsilon_1}\right) \int_S \frac{\partial G(\vec{X}, \vec{\xi})}{\partial n_x} \frac{\partial H_z^-(\vec{\xi})}{\partial n_\xi} dl_\xi - \\ - \left(k_1^2 - k_0^2\right) \iint_{D_2} \frac{\partial G(\vec{X}, \vec{\xi})}{\partial n_x} H_z^-(\vec{\xi}) ds_\xi. \quad (2)$$

Уравнение (2) не удобно для проведения численных расчетов, так как выражение в левой его части представляет собой нормальную производную потенциала двойного слоя. Преобразовав левую часть (2) аналогично тому, как это сделано в работе [12], и введя обозначение  $p_l(\vec{\xi}) = p(\vec{\xi})|_{\vec{\xi} \in S_{0l}}$ , ( $l = 1, 2, 3$ ), получим

уравнение, содержащее не только функцию  $p(\vec{\xi})$ , но и ее производную  $p'(\vec{\xi})$ :

$$k_0^2 \int_{S_{0l}} (\vec{n}_\xi \vec{n}_x) G(k_0 R) p_l(\vec{\xi}) dl_\xi + \\ + k_0 \int_{S_{0l}} G'(k_0 R) \left[ (\vec{R}^0 \vec{\tau}_\xi) p'_l(\vec{X}) - (\vec{R}^0 \vec{\tau}_x) p'_l(\vec{\xi}) \right] dl_\xi + \\ + p'_l(\vec{X}) \left[ G(k_0 R_{A_l}) - G(k_0 R_{B_l}) \right] + \\ + \sum_{m \neq l} \int_{S_{0m}} \frac{\partial^2 G(k_0 R)}{\partial n_\xi \partial n_x} p_m(\vec{\xi}) dl_\xi = \\ = \frac{\partial H_z^0(\vec{X})}{\partial n_x} - \left(1 - \frac{\epsilon_0}{\epsilon_1}\right) \int_S \frac{\partial G(\vec{X}, \vec{\xi})}{\partial n_x} \frac{\partial H_z^-(\vec{\xi})}{\partial n_\xi} dl_\xi - \\ - \left(k_1^2 - k_0^2\right) \iint_{D_2} \frac{\partial G(\vec{X}, \vec{\xi})}{\partial n_x} H_z^-(\vec{\xi}) ds_\xi, \quad (l = 1, 2, 3) \quad (3)$$

где  $p'(\vec{\xi})(p'(\vec{X}))$  – производная функции  $p(\vec{\xi})(p(\vec{X}))$  по дуге контура в точке экрана  $\vec{\xi}(\vec{X})$ ;  $R_{A_l}$ ,  $R_{B_l}$  – расстояния от краев экранов  $S_0$  до точки наблюдения;  $\vec{\tau}_\xi$ ,  $\vec{\tau}_x$  – орты касательных к линии  $S_0$  в точках  $\vec{\xi}$ ,  $\vec{X}$ ;  $dl_\xi$  – дифференциал дуги;  $\vec{R}^0 = (\vec{\xi} - \vec{X})/|\vec{\xi} - \vec{X}|$ .

Метод электродинамического расчета для двумерной модели монолитного диэлектрического обтекателя (случай  $E$ -поляризации) приведен в [11]. В настоящей статье метод был распространен на случай  $H$ -поляризации.

Выражение, стоящее в правой части (1), содержит предельные значения  $\partial H_z^-(\vec{\xi})/\partial n_\xi$  на  $S$ . Тем не менее наличие этого члена не вызывает дополнительных расчетных трудностей, так как нахождению подлежит поле не на линии, а в плоской области. Соответствующие предельные значения нормальной производной могут быть приближенно выражены через значения поля в области  $D_2$  с помощью интерполяции.

Как показали проведенные исследования, в большинстве случаев решение системы уравнений (1) и (3) может быть получен-

но с помощью итерационной процедуры (в частности, в отсутствие экрана  $S_{03}$ ). Однако в случае сильного взаимодействия между экранами и обтекателем итерации не приводят к установившимся значениям плотностей токов на экранах и поля в слое обтекателя и систему уравнений (1), (3) необходимо решать непосредственно.

Интегрирование по области  $D_2$  может быть представлено в виде последовательного интегрирования вдоль направляющей линии  $S_1$  и вдоль нормали к  $S_1$ . При этом, учитывая, что толщина стенки обтекателя составляет величину порядка половины длины волны, для получения приемлемой точности вычислений в используемой квадратурной формуле достаточно иметь значения подинтегральной функции в трех точках вдоль нормали. Таким образом, интеграл по области  $D_2$  может быть представлен в виде взвешенной суммы интегралов по трем подобным  $S_1$  контурам, находящимся внутри  $D_2$ .

Уравнение внутренней поверхности  $S_1$  для боковых стенок обтекателя удобно представить в виде:

$$y = -\mu|x|^\alpha + v, \quad (4)$$

где  $\mu$ ,  $\alpha$ ,  $v$  – коэффициенты, характеризующие форму и размер обтекателя.

В окрестности “носика” форму обтекателя опишем дугой окружности с радиусом  $R_\phi$ , гладко сопрягающейся с кривой (4). Величина носового участка и его радиус кривизны определяются расположением точки, координаты  $(x_\phi, y_\phi)$  которой удобно задавать с помощью некоторого угла  $\phi$ , отсчитываемого от оси  $OY$  ( $a$  – половина основания обтекателя):

$$x_\phi = a \sin \phi, \quad y_\phi = -\mu(a \sin \phi)^\alpha + v.$$

Введя параметризацию координат обтекателя по оси абсцисс,  $x = a \cos \theta$  (где  $\theta$  – угол, отсчитываемый от оси  $OX$ ,  $0 \leq \theta \leq \pi$ ), запишем уравнение контура  $S_1$  в виде:

$$\eta(\theta) = \begin{cases} -\mu(a \cos \theta)^\alpha + v, & \left| \theta - \frac{\pi}{2} \right| \geq \phi, \\ \sqrt{R_\phi^2 + (a \cos \theta)^2} + y_\phi + t_0(\vec{n}_\phi)_y, & \left| \theta - \frac{\pi}{2} \right| < \phi, \end{cases}$$

где  $t_0 = -x_\phi / (\vec{n}_\phi)_x$ ,  $(\vec{n}_\phi)_x$  –  $x$ -компоненты орта нормали  $\vec{n}_\phi$  к контуру  $S_1$  для  $\theta = \pi/2 \pm \phi$ .

Кривая  $S_2$  получена путем эквидистантного сдвига кривой  $S_1$  на расстояние  $\delta$  вдоль нормали  $\vec{n}$  к кривой  $S_1$  ( $\delta$  – толщина стенки обтекателя).

Введем параметризацию точек на контурах внутри стенки обтекателя и на контурах  $S_0$ . С целью унификации задания точек введем сквозную нумерацию контуров.

Для точки наблюдения на контурах внутри стенки обтекателя  $\vec{X}_l = (x_l, y_l)$ , ( $l = 1, 2, 3$ ):

$$\begin{aligned} x_l(\theta_0) &= a \cos(\theta_0) + h(1 - \beta_l)n_x(\theta_0), \\ y_l(\theta_0) &= \eta(\theta_0) + h(1 - \beta_l)n_y(\theta_0), \quad (0 \leq \theta_0 \leq \pi); \end{aligned}$$

для точек интегрирования на контурах внутри стенки обтекателя  $\vec{\xi}_l = (x_{\xi,l}, y_{\xi,l})$ , ( $l = 1, 2, 3$ ):

$$\begin{aligned} x_{\xi,l}(\theta) &= a \cos(\theta) + h(1 - \beta_l)n_x(\theta), \\ y_{\xi,l}(\theta) &= \eta(\theta) + h(1 - \beta_l)n_y(\theta), \quad (0 \leq \theta \leq \pi). \end{aligned}$$

Здесь  $l$  – номер контура в обтекателе;  $h = \delta/2$  – половина толщины стенки обтекателя;  $\beta_{1,3} = \pm 0.7745597$ ,  $\beta_2 = 0$  – абсциссы трехточечной формулы Гаусса;  $n_x$ ,  $n_y$  – компоненты орта внешней нормали  $\vec{n}$  к поверхности, ограничивающей обтекатель.

Для точки наблюдения на контурах, соответствующих экранам  $S_0$ ,  $\vec{X}_l = (x_l, y_l)$ , ( $l = 4, 5, 6$ ):

$$x_l(\theta_0) = a_l \cos(\theta_0), \quad y_l(\theta_0) = \eta_l(\theta_0), \quad (0 \leq \theta_0 \leq \pi);$$

для точек интегрирования на контурах, соответствующих экранам  $S_0$ ,  $\vec{\xi}_l = (x_{\xi,l}, y_{\xi,l})$ , ( $l = 4, 5, 6$ ):

$$x_{\xi,l}(\theta) = a_l \cos(\theta), \quad y_{\xi,l}(\theta) = \eta_l(\theta), \quad (0 \leq \theta \leq \pi).$$

Здесь ( $l - 3$ ) – номер соответствующего экрана;  $a_l$  ( $l = 4, 5, 6$ ) – половина апертуры  $l$ -го контура;  $\eta_l(\theta)$  ( $l = 4, 5, 6$ ) – функция, описывающая  $l$ -й контур. Для экранов  $S_{01}$  и  $S_{02}$   $\eta_l(\theta) = (a_l \cos \theta)^2 / 2f_l + d_l$ ,  $f_l$  – удвоенное значение фокусного расстояния  $l$ -го контура,  $d_l$  – высота подъема вершины  $l$ -го контура над осью  $OX$ . Для экрана  $S_{03}$   $\eta_6(\theta) \equiv 0$ .

По аналогии с [11] решение интегрального уравнения на каждом контуре внутри области  $D_2$  будем искать в виде отрезка ряда Фурье по косинусам:

$$H_z(\theta_0) = \sum_{k=0}^N A_k^l \cos(k\theta_0), \quad (5)$$

$$(0 \leq \theta_0 \leq \pi), \quad (l = 1, 2, 3),$$

а для экранов – с учетом условий Майкснера [13] – в виде:

$$p(\theta_0) = \zeta(\theta_0) \sum_{k=0}^N A_k^l \cos(k\theta_0), \quad (6)$$

$$(0 \leq \theta_0 \leq \pi), \quad (l = 4, 5, 6).$$

Здесь  $A_k^l$  – подлежащие нахождению коэффициенты;  $\zeta(\theta_0) = a_l \sin \theta_0$  – множитель, позволяющий учесть условие Майкснера на  $l$ -м контуре. Далее, подставив выражения (5) и (6) в (1) и (3), для каждой точки наблюдения  $\theta_0$  получаем систему из шести (по числу контуров интегрирования) уравнений относительно неизвестных коэффициентов  $A_k^l$ :

$$\sum_{k=0}^N A_k^l \cos(k\theta_0) = H_z^0(\vec{X}_l(\theta_0)) -$$

$$-\frac{h(k_1^2 - k_0^2)}{4j} \sum_{m=1}^3 \alpha_m \sum_{k=0}^N C_k^{l,m}(\theta_0) A_k^m +$$

$$+ \left( \frac{\varepsilon_0}{\varepsilon_1} - 1 \right) \sum_{k=0}^N \sum_{m=1}^3 A_k^m \gamma_k^{l,m}(\theta_0) - \sum_{k=0}^N \sum_{m=4}^6 A_k^m V_k^{l,m}(\theta_0),$$

$$(l = 1, 2, 3), \quad (7)$$

$$\sum_{k=0}^N \sum_{m=4}^6 A_k^m F_k^{l,m}(\theta_0) + \sum_{k=0}^N A_k^l D_k^l(\theta_0) = \frac{1}{k_0^2} \frac{\partial H_z^0(\vec{X}_l(\theta_0))}{\partial n_x} -$$

$$- \frac{1}{k_0^2} \frac{h(k_1^2 - k_0^2)}{4j} \sum_{m=1}^3 \alpha_m \sum_{k=0}^N C_k^{l,m}(\theta_0) A_k^m +$$

$$+ \frac{1}{k_0^2} \left( \frac{\varepsilon_0}{\varepsilon_1} - 1 \right) \sum_{k=0}^N \sum_{m=1}^3 A_k^m \gamma_k^{l,m}(\theta_0),$$

$$(l = 4, 5, 6),$$

где  $\alpha_{1,3} = 5/9$ ,  $\alpha_2 = 8/9$  – коэффициенты 3-точечной формулы Гаусса; верхние индексы  $l, m$  ( $l, m = 1, 2, \dots, 6$ ) определяют номер контура точки наблюдения и точки интегрирования соответственно;  $\gamma_k^{l,m}(\theta_0)$  – значения, полученные в результате интегрирования функций, содержащих нормальные производные  $\partial H_z^-(\theta_0)/\partial n_\xi$ . Коэффициенты  $C_k^{l,m}$ ,  $V_k^{l,m}$ ,  $F_k^{l,m}$ ,  $D_k^l$  в выражениях (7) представляют собой интегралы от известных функций. В частности, коэффициент, соответствующий интегральному оператору по слою обтекателя, представляется в виде:

$$C_k^{l,m}(\theta_0) = \int_0^\pi H_0^1 \left( k_0 \left| \vec{X}_l(\theta_0) - \vec{\xi}_m(\theta) \right| \right) \times$$

$$\times \sqrt{\left( x'_{\xi,m}(\theta) \right)^2 + \left( y'_{\xi,m}(\theta) \right)^2} \cos(k\theta) d\theta.$$

Коэффициенты  $F_k^{l,m}$ ,  $D_k^l$  представляют собой интегралы от известных функций по контурам зеркал. Например,

$$F_k^{l,m}(\theta_0) = - \frac{a_l}{\sqrt{1 + (x_l(\theta_0))^2/f_l^2}} \times$$

$$\times \int_0^\pi H_0^{(1)} \left( k_0 \left| \vec{X}_l(\theta_0) - \vec{\xi}_m(\theta) \right| \right) \zeta(\theta_0) \times$$

$$\times \left( 1 + \frac{x_l(\theta_0)x_l(\theta)}{f_l^2} \right) \sin \theta \cos(k\theta) d\theta,$$

$$\begin{aligned}
D_k^l(\theta_0) = & \frac{a_l}{k_0} \times \\
& \times \int_0^\pi \left( H_1^{(1)} \left( k_0 \left| \vec{X}_l(\theta_0) - \vec{\xi}_l(\theta) \right| \right) \left( \vec{R}_0 \vec{\tau}_\xi \right) q_n(\theta_0) \frac{\sin \theta}{\sin \theta_0} - \right. \\
& \left. - H_1^{(1)} \left( k_0 \left| \vec{X}_l(\theta_0) - \vec{\xi}_l(\theta) \right| \right) \left( \vec{R}_0 \vec{\tau}_x \right) q_n(\theta_0) \right) \cos(k\theta) d\theta + \\
& + \frac{a_l}{k_0^2} \left[ H_0^{(1)}(k_0 R_{A_l}) - H_0^{(1)}(k_0 R_{B_l}) \right] q_n(\theta_0),
\end{aligned}$$

$$q_n(\theta) = k \sin(k\theta) \sin(\theta) - \cos(k\theta) \cos(\theta).$$

Выбрав значения точек коллокации  $\theta_0$  на каждом из контуров интегрирования в системе (7) так, чтобы их количество превышало число неизвестных коэффициентов, получим из (7) переопределенную систему линейных уравнений для  $A_k^l$ , которая может быть решена методом наименьших квадратов.

При совпадении точки наблюдения с краем зеркала выражение  $[H_0^{(1)}(k_0 R_{A_l}) - H_0^{(1)}(k_0 R_{B_l})]$  имеет логарифмическую особенность, поэтому точки коллокации выбирались не совпадающими с краями экранов.

## 2. Результаты математического моделирования излучения и рассеяния двухзеркальной антенны с диэлектрическим остроконечным обтекателем

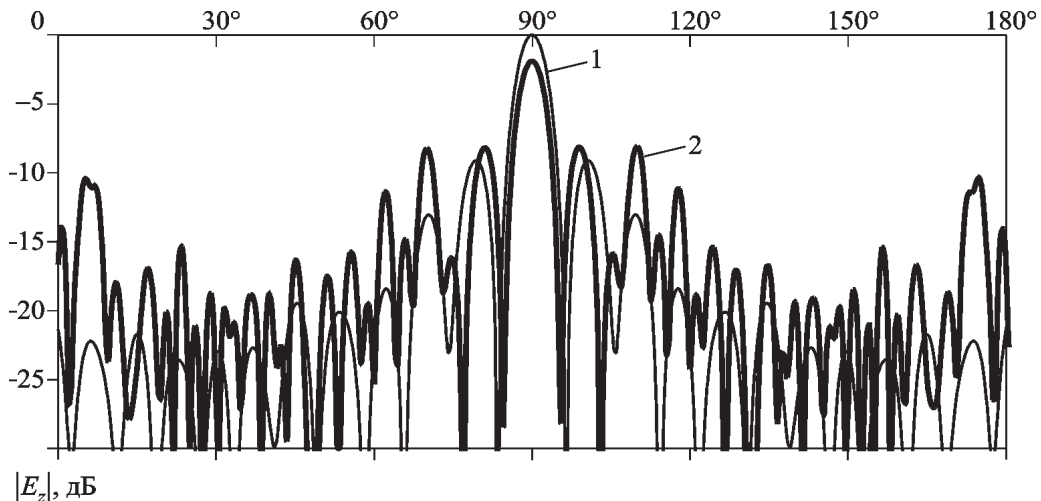
Рассматривалась двухзеркальная антenna, расположенная под остроконечным обтекателем. Зеркала антенн представляли собой параболы, фокус большого зеркала  $S_{01}$  находился в точке  $\vec{a}$ , которая совпадала с фазовым центром зеркала  $S_{02}$  (см. рис. 1). Раскрыты зеркалами были выбраны равными  $8\lambda_0$  и  $1.46\lambda_0$ , фокусное расстояние зеркала  $S_{01}$  –  $7\lambda_0$ , фокусное расстояние зеркала  $S_{02}$  –  $\lambda_0$  ( $\lambda_0$  длина волны в свободном пространстве). Вершина большого зеркала была расположена на расстоянии  $3\lambda_0$  от экрана  $S_{03}$ . В качестве источника первичного поля была использована токовая (магнит-

ная) нить, след которой на плоскости  $XOY$  совпадает с точкой  $\vec{a}$ . Параметры обтекателя были выбраны равными  $\mu = 0.8$ ,  $\alpha = 2.15$ ,  $v = 30$ , при этом длина основания обтекателя равнялась  $11\lambda_0$ , высота –  $30\lambda_0$ . Толщина стенки обтекателя была согласована [1] для случая нормального падения волны, как это принято делать на практике, и равнялась  $0.5\lambda_1$  ( $\lambda_1$  – длина волны в диэлектрике с  $\epsilon_1 = 4$ ).

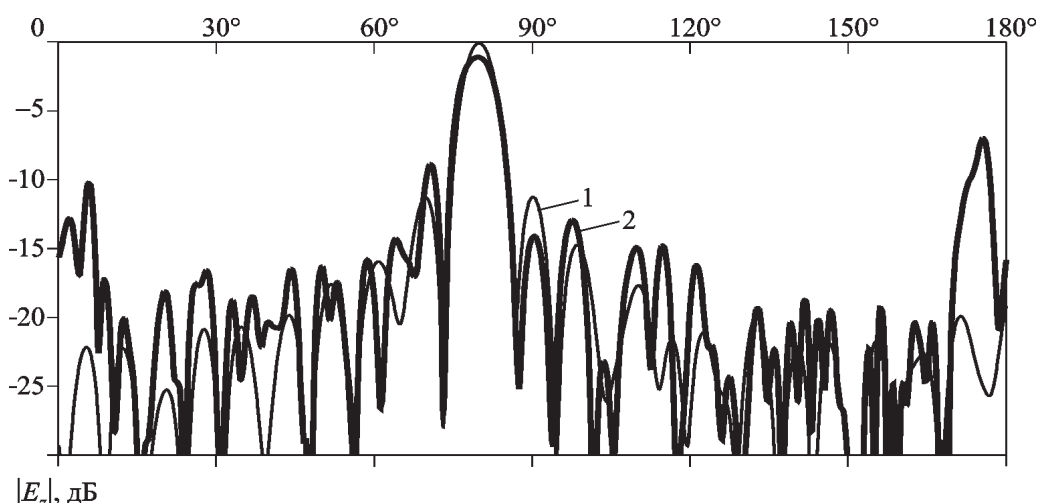
На рис. 2 представлены диаграммы направленности (ДН) системы из трех экранов без обтекателя и в присутствии обтекателя для случая  $E$ -поляризации, нормированные к максимуму ДН в отсутствие обтекателя. Сканирование при этом не осуществлялось (экраны  $S_{01}$  и  $S_{02}$  были расположены симметрично относительно оси обтекателя).

В присутствии обтекателя уровень главного лепестка ДН снизился на 2 дБ и сузился (ширина главного лепестка по уровню половинной мощности без обтекателя  $\sim 3.5^\circ$ , в присутствии обтекателя  $\sim 3^\circ$ ). При этом уровень ближних боковых лепестков вырос на 0.7 дБ и значительно вырос уровень дальних боковых лепестков. В целом ДН приобрела более изрезанный вид.

На рис. 3 представлены нормированные ДН для той же системы, но при сканировании под углом в  $100^\circ$  (экраны  $S_{01}$  и  $S_{02}$  были повернуты относительно оси обтекателя на  $10^\circ$ ). В данном случае главный лепесток ДН в присутствии обтекателя смешен на  $0.5^\circ$  по сравнению с ДН неукрытой антенной системы и расположен под углом в  $79.5^\circ$ . Его уровень снизился на 1 дБ. Уровень ближнего бокового лепестка слева вырос на 2.5 дБ, и вместе с тем уровень ближнего бокового лепестка справа снизился на 2.7 дБ. Это объясняется тем, что при отклонении антенной системы от осевого положения снижается влияние носовой части обтекателя с малым радиусом кривизны поверхностей на формирование ДН и в тоже время через боковую часть обтекателя поле, излучаемое антенной системой, проходит под углами близкими к нормальному по отношению к поверхностям обтекателя. Как и в случае осевого сканирова-



**Рис.2.** Нормированные диаграммы направленности системы из трех экранов для случая  $E$ -поляризации (без сканирования): ——— – без обтекателя, ——— — с обтекателем



**Рис. 3.** Нормированные диаграммы направленности системы из трех экранов для случая  $E$ -поляризации (сканирование под углом  $10^\circ$  к оси обтекателя): ——— – без обтекателя, ——— — с обтекателем

ния наблюдается значительный рост дальних боковых лепестков, что можно объяснить переотражениями от стенок обтекателя, а также наличием экрана  $S_{03}$  в основании обтекателя.

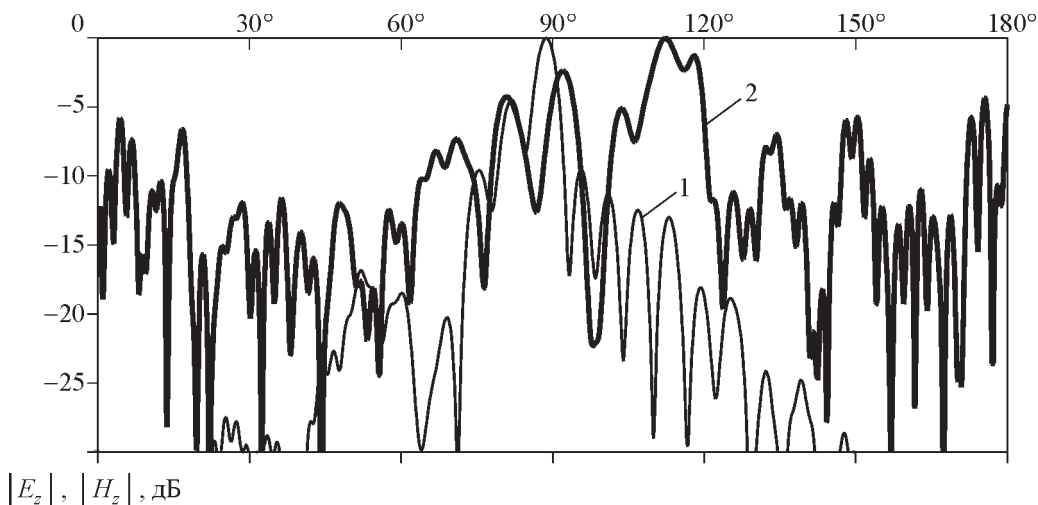
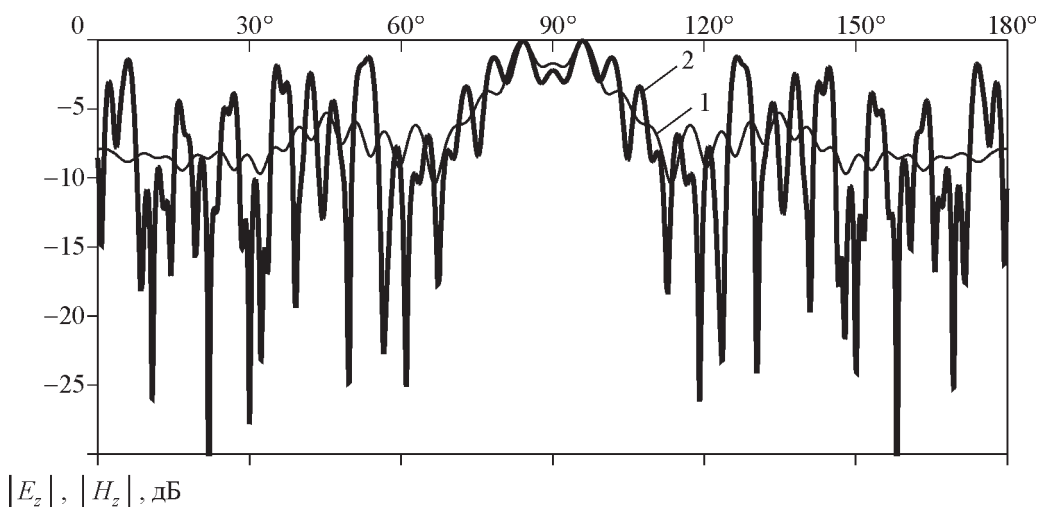
Расчеты, проведенные для случая  $H$ -поляризации, показали, что поле магнитной нити весьма сильно экранируется малым зеркалом, и в направлении главного лепестка возникает провал. Одновременно сущес-

твенно (по сравнению со случаем  $E$ -поляризации) возрастает уровень боковых лепестков. Отметим, что источник поля в виде магнитной нити не имеет ясной физической интерпретации.

Зеркальные АС, укрытые обтекателями, зачастую используются в качестве бортовых АС летательных аппаратов и оказывают значительное влияние на формирование их эффективной поверхности рассеяния.

На рис. 4 представлены нормированные диаграммы рассеяния (ДР) системы из трех симметрично расположенных экранов и обтекателя при падении плоской волны вдоль оси обтекателя для обеих поляризаций волны облучения. ДР нормированы к своим максимумам ( $E_{z \max} = 0.0309$  В/м,  $H_{z \max} = 0.1066$  В/м). При этом ДР в случае  $H$ -поляризации имеет менее изрезанные боковые лепестки по сравнению со случаем  $E$ -поляризации.

На рис. 5. представлены нормированные ДР системы из трех экранов и обтекателя при падении плоской волны под углом  $100^\circ$  ( $10^\circ$  к оси обтекателя) и повороте антенн  $S_{01}$  и  $S_{02}$  на угол в  $110^\circ$  ( $20^\circ$  к оси обтекателя) для обеих поляризаций. ДР нормированы к своим максимумам ( $E_{z \max} = 0.0693$  В/м,  $H_{z \max} = 0.0986$  В/м). Максимум ДР в случае  $E$ -поляризации находится под углом  $113.25^\circ$ , а в случае  $H$ -поляризации под углом  $89.25^\circ$ .



## Заключение

Таким образом, предложенный в статье метод позволяет производить расчет как полей излучения, так и полей рассеяния для двумерной модели двухзеркальной антенны под оживальным диэлектрическим обтекателем для случаев  $E$ - и  $H$ -поляризованных полей. Полученные результаты позволяют производить оценки влияния диэлектрического обтекателя на ДН и уровень вторичного излучения бортовых АС.

## Литература

- Обтекатели антенн / Пер. с англ. под ред. А.И. Шпунтова. – М.: Советское радио, 1950. – 263 с.
- Пригода Б. А., Кокунько В. С. Обтекатели антенн летательных аппаратов. – М.: Машиностроение, 1978. – 120 с.
- Burks G., Graf E. R. A high frequency analysis of radome-induced radar pointing error // IEEE Trans. Antennas Propag. – 1982. – Vol. 30, No. 9. – P. 947-955.
- Siwiak K., Dowling T. B., and Lewis L. Boresight errors induced by missile radomes // IEEE Trans. Antennas Propag. – 1979. – Vol. 27, No. 6. – P. 832-841.
- Arvas E., Rahhalarabi A., Pekel U., and Gundogan E. Electromagnetic transmission through a small radome of arbitrary shape // IEE Proc., Part H., Microwaves, Antennas and Propag. – 1990. – Vol. 137, No. 12. – P. 401-405.
- Ling H., Chou R., and Lee S. W. Shooting and bouncing rays: Calculating the RCS of an arbitrarily shaped cavity // IEEE Trans. Antennas Propag. – 1989. – Vol. 37, No. 2. – P. 194-205.
- Shifflett J. A. CADDRAD: A physical optics radar/radome analysis code for arbitrary 3D geometries // IEEE Antennas Propag. Mag. – 1997. – Vol. 39, No. 12. – P. 73-79.
- Kim H., Ling H. Electromagnetic scattering from an inhomogeneous object by ray tracing // IEEE Trans. Antennas Propag. – 1992 – Vol. 40, No. 5. – P. 517-525.
- Михайлов Г.Д., Кутищев С. Н., Кирьянов О. Е. Эффективная площадь рассеяния зеркальной антенны с диэлектрическим обтекателем // Радиофизика. – 1999. – Т. 52, №9. – С. 879-885.
- Yurchenko V. B., Altintas A., and Nosich A. I. Numerical optimization of a cylindrical reflector-in-radome antenna system// IEEE Trans. Antennas Propag. – 1999 – Vol. 47, No. 4. – P. 668-673.
- Кукобко С. В., Нечитайло С. В., Сазонов А. З., Сухаревский О. И. Расчет излучения антенной решетки с носовым диэлектрическим обтекателем // Радиофизика и радиоастрономия. – 2003. – Т. 8, №3. – С. 287-295.
- Сухаревский О. И. Электродинамический расчет модели двухзеркальной антенны со строгим учетом взаимодействия между зеркалами // Радиотехника. – 1982. – Вып. 64. – С. 41-47.
- Дмитриев В. И., Захаров Е. В., Пименов Ю. В. Методы расчета электромагнитных полей в задачах дифракции на идеально проводящих поверхностях // Вычислительные методы и программирование. – 1973. – Вып. 20. – С. 106-125.

## Електродинамічний метод розрахунку двомірної моделі двохзеркальної антенної системи з носовим діелектричним обтічником

**С. В. Кукобко, О. З. Сазонов,  
І. О. Сухаревський**

Розглянуто метод розрахунку полів випромінювання та розсіяння двовимірної моделі двохзеркальної антени під діелектричним гострокінцевим обтічником для випадків  $E$ - та  $H$ -поляризованих полів. Метод ґрунтуються на розв'язанні інтегральних рівнянь відносно поля у шарі обтічника та щільноті струмів на дзеркалах. Наведено діаграми спрямованості та розсіяння двохзеркальної антенної системи під діелектричним обтічником, що спирається на ідеально провідну пластину.

## Electrodynamic Calculation Method for Two-Dimensional Model of a Double-Reflector Antenna System with a Nose Dielectric Radome

**S. V. Kukobko, A. Z. Sazonov,  
and I. O. Sukharevsky**

The calculation method for the radiated and scattered fields of a two-dimensional double-reflector antenna model is considered for the cases of  $E$ - and  $H$ -polarized fields under the dielectric sharp-nose radome. The method is based on solving the integral equations as respects a radome layer field and a current density on reflectors. Directional radiation and scattering patterns for the double-reflector antenna system are shown for the fields under the dielectric radome based on an ideally conducting plate.